

## 4 讨论

由以上结果可见，大鼠单次尾静脉注射 $2 \text{ mg} \cdot \text{kg}^{-1}$ 高三尖杉酯碱注射液后，广泛分布于心脏、肝脏、肺、肾脏和骨髓等组织中，而以 0.5 h 时高三尖杉酯碱注射液在肝脏中的分布为最高。

心脏、肝脏、肺、肾脏和骨髓等组织中药物浓度均明显高于血浆中药物浓度，血浆中药物浓度过低。由脏器分布结果可以看出，给药 0.5, 1, 2 h 后主要效应器官的分布特点是  $C_{\text{骨髓}} > C_{\text{心}}$ ，且浓度较高。而高三尖杉酯碱具有极强的细胞毒性，亦可导致心脏毒性及骨髓抑制，故需要引起注意。主要消除器官的浓度分布特点是  $C_{\text{肝}} > C_{\text{肺}} > C_{\text{肾}}$ ，高三尖杉酯碱在肝脏中含量较高，对其肝首过效应引起注意。其次在肾脏中也有较高的浓度，说明高三尖杉酯碱主要由肾脏排泄。

笔者曾经尝试用 HPLC-UV 检测大鼠组织中的高三尖杉酯碱浓度，但是由于高三尖杉酯碱浓度低，UV 检测器灵敏度不能满足检测要求，且专属性差。本试验用 HPLC-荧光检测技术，建立了快速、简便的高三尖杉酯碱生物样品测定方法，灵敏度高、具有很高的专属性、方法的重复性好、

操作简便、结果准确，符合生物样品分析要求，可用于高三尖杉酯碱的体内定量分析。

## REFERENCES

- [1] XU Y, YANG G H, JIN W M, et al. Effects of homoharringtonine liposomes and homoharringtonine solution on glaucoma filtration surgery in rabbits [J]. Chin J Ophthalmol(中华眼科杂志), 1998, 34(4): 304-307.
- [2] GORMLEY N A, ORPHANIDES G, MEYER A, et al. The interaction of coumarin antibiotics with fragment of DNA gyrase B protein [J]. Biochemistry, 1996, 35(15): 5083-5092.
- [3] YANG M, YANG C Z. Determination of the content of homoharringtonine in serum by HPLC [J]. Chin J Pharm Anal(药物分析杂志), 1999, 19(3): 147-149.
- [4] FENG Y F, LIU Z H, HU X, et al. Determination of homoharringtonine and sodium chloride injection and its related substance by HPLC [J]. Chin J Hosp Pharm(中国医院药学杂志), 2002, 22(4): 204-206.
- [5] XU B, ZHONG W X. Study on antitumor effect of oral of oraladminstration of homoharringtonine and its pharmacokinetics [J]. Tumor(肿瘤), 2001, 21(6): 30-32.
- [6] WANG S C, HE L C, LI L N. Study on pharmcokinetics and tissue distribution of verapamil in rats by HPLC using fluorescence detection [J]. Chin J Pharm Anal(药物分析杂志), 2003, 23(1): 1-3.
- [7] GAO S Y, LIN L J. Determination of homoharringtonine contained in homoharringtonine Injection by HPLC [J]. Chin J Pharm Anal(药物分析杂志), 1999, 19(2): 103-105.

收稿日期：2009-10-26

## GC 测定注射用阿莫西林钠中残留的有机溶剂

应国红，邓颖，李玉兰，黄志强(深圳市药品检验所，广东 深圳 518029)

**摘要：**目的 建立注射用阿莫西林钠有机溶剂残留量的测定方法。方法 采用顶空进样毛细管气相色谱法，色谱柱为 DB-624 毛细管柱( $30 \text{ m} \times 0.25 \text{ mm}$ ,  $1.4 \mu\text{m}$ )，柱温： $40^\circ\text{C}$ ，顶空温度  $85^\circ\text{C}$ ，平衡时间：30 min，进样口温度： $200^\circ\text{C}$ ，FID 检测器温度： $250^\circ\text{C}$ ，以正丙醇为内标，高纯氮气为载气，测定了注射用阿莫西林钠中 7 种有机溶剂的残留量。结果 各有机溶剂均能得到有效分离，在所考察的浓度范围内线性关系良好， $r$  为  $0.999\ 0\sim0.999\ 8$ ，平均回收率为  $91.3\%\sim105.7\%$ 。  
**结论** 本方法灵敏、简便、结果准确，可用于注射用阿莫西林钠中残留溶剂的检测。

**关键词：**注射用阿莫西林钠；顶空气相色谱法；残留溶剂

中图分类号：R917.101

文献标志码：B

文章编号：1007-7693(2010)08-0738-04

## Determination of Residual Organic Solvents in Amoxicillin Sodium for Injection by GC

YING Guohong, DENG Ying, LI Yulan, HUANG Zhiqiang(Shenzhen Institute for Drug Control, Shenzhen 518029, China)

**ABSTRACT: OBJECTIVE** To establish a method for determination of residual organic solvents in amoxicillin sodium for injection. **METHODS** A DB-624 capillary column( $30 \text{ m} \times 0.25 \text{ mm}$ ,  $1.4 \mu\text{m}$ ) was used at  $40^\circ\text{C}$ , the headspace temperature was  $85^\circ\text{C}$  and kept for 30 minutes, the temperature of inlets and FID detector were  $200^\circ\text{C}$  and  $250^\circ\text{C}$ , propanol as internal standard,

作者简介：应国红，女，硕士，副教授，副主任药师 Tel: (0755)26031751 E-mail: guohong2004@163.com

high purity nitrogen as the carry gas. **RESULTS** Seven residual organic solvents were completely separated and there were good linearities( $r=0.999\ 0-0.999\ 8$ ). The average recovery rate was in the range of 91.3%–105.7%. **CONCLUSION** The method proved to be sensitive, simple and accurate, and can be used for determination of residual organic solvents in amoxicillin sodium for injection.

**KEY WORDS:** amoxicillin sodium for injection; headspace GC; residual organic solvents

注射用阿莫西林钠为临床常用抗生素之一，阿莫西林通过抑制细菌细胞壁合成而发挥杀菌作用，可使细菌迅速成为球状体而溶解、破裂。阿莫西林钠在生产过程中可能带进并残留有一定量的溶剂，不同企业由于生产工艺的差异使产品残留溶剂有所不同，这些残留溶剂可能对人体造成不同程度的损害，必须予以控制。关于阿莫西林钠残留溶剂的检测方法，国内也有相关研究<sup>[1]</sup>，但检出的溶剂种类较少。本所担任2009年对注射用阿莫西林钠国家评价性抽验任务以来，参照中国药典2005年版附录中残留溶剂测定法的要求<sup>[2]</sup>，同时参考有关文献<sup>[3-4]</sup>，采用顶空进样的气相色谱法对来自6个不同生产企业的6批注射用阿莫西林钠中的有机溶剂进行了测定，建立了同时测定7种溶剂的毛细管气相色谱法。实验结果显示，该方法简便快捷，结果准确。

## 1 仪器与试剂

岛津GC-2010气相色谱仪(日本岛津)，包括FID检测器，GC Solution色谱工作站；TEKMAR DOHRMANN Headspace Autosampler 7000顶空进样器。

甲醇、乙醇、丙酮、异丙醇、乙酸甲酯、二氯甲烷、乙酸乙酯、正丙醇、丁酮，均为分析纯。6批注射用阿莫西林钠分别由6家制药企业提供(石药集团，批号：08091422；哈药集团，批号：A090101317；华北制药集团，批号：09047103；山西仟源制药有限公司，批号：20080701；珠海联邦制药股份有限公司，批号：80808601；山东鲁抗医药股份有限公司，批号：081201)。水为自制超纯水。

## 2 方法与结果

### 2.1 色谱条件

色谱柱为DB-624毛细管色谱柱(30 m×0.25 mm, 1.4 μm)，进样口温度200 °C，FID检测器温度250 °C，柱温40 °C，载气为高纯氮气，流速1.0 mL·min<sup>-1</sup>，分流比20:1，进样量1.0 mL，顶空进样：顶空瓶平衡温度85 °C，平衡30 min，各色谱峰理论板数均大于5 000，分离度符合规定。

### 2.2 确定样品中所涉及的残留溶剂的种类

采用中等极性的DB-624毛细管柱，按照标准

的程序升温条件<sup>[2]</sup>，用顶空法进样分别对6批来自不同企业的样品测定各挥发性组分的保留时间，以丁酮为参比，计算各组分响应峰相对于丁酮峰的相对保留时间，初步推断出所有供试品中均含有乙醇及丙酮，部分含有异丙醇，另外发现有2个企业的產品除检出乙醇、丙酮峰外，还检出甲醇、乙酸甲酯及乙酸乙酯峰。验证：取含有上述溶剂的供試品溶液和加有乙醇、丙酮、异丙醇、甲醇、乙酸甲酯及乙酸乙酯的供試品溶液分别进样，结果各对应峰完全重合。

### 2.3 检测方法的建立

**2.3.1** 色谱柱的选择 考虑到残留溶剂极性的差异，选择中等极性的DB-624毛细管柱。

**2.3.2** 顶空温度的选择 参照中国药典2005年版条件，对顶空瓶平衡温度和平衡时间进行考察，分别选择了75 °C和85 °C的顶空平衡温度平衡30 min，结果表明2种温度下所出的色谱峰的数目及位置相似，但85 °C时各峰面积比75 °C明显增大，故选择85 °C的顶空平衡温度平衡30 min的色谱条件。

**2.3.3** 溶剂及内标的选用 注射用阿莫西林钠为水溶性样品，故选择水为溶解介质。内标首先考察了丁酮，发现样品中内标丁酮的色谱峰峰面积比空白溶液中内标丁酮的峰面积明显减小，说明存在基质效应，改用正丙醇为内标后消除这一现象，故选择正丙醇为内标。

**2.3.4** 柱温的选择 参照中国药典2005年版附录，选择40 °C柱温，各组分峰有效分离，含内标组分的空白峰对各组分峰均无干扰，色谱图见图1。

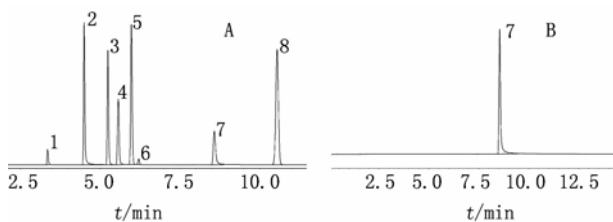


图1 对照品溶液及内标溶液的气相色谱图

A—对照品溶液；B—内标溶液；1—甲醇；2—乙醇；3—丙酮；4—异丙醇；5—乙酸甲酯；6—二氯甲烷；7—内标；8—乙酸乙酯

Fig 1 gas chromatogram of control and internal standard

A-control; B-internal standard; 1-methanol; 2-ethanol; 3-acetone; 4-isopropanol; 5-acetate; 6-ichlormethane; 7-internal standard; 8-acetoacetate

## 2.4 溶液制备

**2.4.1 内标溶液配制** 取正丙醇适量，精密称定，加水制成每1mL含正丙醇0.2mg的溶液。

**2.4.2 对照品储备液的配制** 精密称取甲醇、乙醇、丙酮、异丙醇、乙酸甲酯、二氯甲烷、乙酸乙酯适量，用内标溶液制成含甲醇3mg·mL<sup>-1</sup>、二氯甲烷0.6mg·mL<sup>-1</sup>及其余各组分5mg·mL<sup>-1</sup>的混合溶液。

**2.4.3 供试品溶液制备** 取注射用阿莫西林钠约0.4g，精密称定，置22mL顶空瓶内，精密加入5mL内标溶液使样品溶解并摇匀即得。

## 2.5 线性关系考察

精密量取对照储备溶液，制成由低到高的系列浓度的溶液，依法进样(每个浓度平行做2份)。以各组分峰面积与内标峰面积之比(Y)与各组分浓度(X)进行线性回归，结果见表1。

表1 回归方程与线性范围(n=7)

**Tab 1** Linear range and regression equations of calibration (n=7)

组分	回归方程	r	线性范围/μg·mL <sup>-1</sup>
甲醇	$Y=1.5754X+0.0032$	0.9991	12.2~243.4
乙醇	$Y=3.141X-0.005$	0.9998	24.2~402.7
丙酮	$Y=9.9697X-0.0259$	0.9998	24.2~403.6
异丙醇	$Y=5.8137X-0.0194$	0.9998	24.3~405.2
乙酸甲酯	$Y=11.6X-0.0992$	0.9999	20.0~400.4
二氯甲烷	$Y=1.86X-0.007$	0.9998	11.8~197.5
乙酸乙酯	$Y=19.797X-0.109$	0.9997	24.4~407.4

## 2.6 精密度

**2.6.1 重复性** 精密量取对照品储备液4mL置100mL量瓶，加内标溶液稀释至刻度，精密量取6份，每份5mL，置22mL顶空瓶中依法测定，结果甲醇、乙醇、丙酮、异丙醇、乙酸甲酯、二氯甲烷、乙酸乙酯对照品峰与内标峰面积比的RSD分别为1.7%，2.0%，2.8%，2.2%，2.3%，3.4%，2.9%，均小于5%。

**2.6.2 日内精密度** 取批号为80808601供试品5份，依法在1d内测定，结果甲醇、乙醇、丙酮、乙酸甲酯、乙酸乙酯峰与内标峰面积比的RSD分别为2.5%，1.8%，3.4%，2.1%，3.2%(n=5)，均小于5%。

**2.6.3 日间精密度** 取批号为80808601供试品，连续3d各取2份依法检测，结果甲醇、乙醇、丙酮、乙酸甲酯、乙酸乙酯峰与内标峰面积比的RSD

分别为4.1%，2.6%，3.3%，3.6%，4.8%(n=6)，均不大于5%。

## 2.7 回收率试验

精密量取对照品储备液3.2, 4.0, 4.8mL置100mL量瓶，加内标溶液稀释至刻度，取供试品(80808601，已知溶剂残留量)0.4g，精密称定9份，分别置22mL顶空瓶中并精密加入上述3种浓度的对照品溶液5mL，每个浓度加3份，振摇溶解后依法检测，结果见表2。各组分回收率均大于91.3%。

表2 回收率结果(n=9)

**Tab 2** The results of recovery test(n=9)

组分	80%	RSD/%	100%	RSD/%	120%	RSD/%
甲醇	104.9%	0.5	103.1%	0.4	101.1%	0.5
乙醇	105.7%	0.3	104.4%	0.2	104.0%	0.2
丙酮	96.3%	0.5	95.6%	0.5	93.0%	0.5
异丙醇	96.0%	0.5	99.5%	0.5	95.4%	0.5
乙酸甲酯	92.4%	0.4	91.4%	0.9	91.3%	0.1
二氯甲烷	92.1%	0.4	94.3%	0.5	94.6%	0.6
乙酸乙酯	92.0%	0.4	91.7%	0.9	91.9%	0.1

## 2.8 最低检出浓度

精密量取对照品储备液用内标溶液逐步稀释后，按上述色谱条件分别进样，测得甲醇、乙醇、丙酮、异丙醇、乙酸甲酯、二氯甲烷、乙酸乙酯最低检出浓度(S/N=3)分别为0.38, 0.40, 0.10, 0.21, 0.42, 0.44, 0.10 μg·mL<sup>-1</sup>。

## 2.9 样品稳定性试验

日内精密度试验分别为样品配制0, 2, 4, 6, 10 h室温放置所测结果，各溶剂组分RSD均小于5.0%，表明样品在配制10 h内稳定性良好。

## 2.10 测定结果

取6个厂家的6批样品分别依法测定，结果见表3，色谱图见图2。

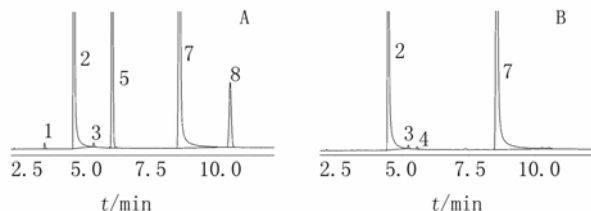


图2 供试品溶液气相色谱图

A—供试品I(80808601); B—供试品II(09047103); 1—甲醇; 2—乙醇; 3—丙酮; 4—异丙醇; 5—乙酸甲酯; 7—内标; 8—乙酸乙酯

**Fig 2** GC chromatogram of samples

A—sample I (80808601); B—sample II (09047103); 1—methanol; 2—ethanol; 3—acetone; 4—isopropanol; 5—acetate; 7—internal standard; 8—acetoacetate

表3 6批样品残留溶剂测定结果

Tab 3 The results of residual organic solvents in six samples

批号	甲醇/%	乙醇/%	丙酮/%	异丙醇/%	乙酸甲酯/%	二氯甲烷/%	乙酸乙酯/%
08091422	未检出	0.409	0.0011	未检出	未检出	未检出	未检出
A090101317	未检出	0.335	0.0018	未检出	未检出	未检出	未检出
09047103	未检出	0.398	0.0007	0.0009	未检出	未检出	未检出
20080701	未检出	0.476	0.0006	0.0015	未检出	未检出	未检出
80808601	0.0124	0.471	0.0005	未检出	0.139	未检出	0.0081
081201	0.0062	0.547	0.0008	未检出	0.053	未检出	0.0103

### 3 讨论

阿莫西林钠生产工艺不同，其残留溶剂的种类和残留量会有较大的差异，有的生产企业出于保密目的或其他原因，提供的工艺可能不完整，使得残留溶剂的检测存在很大的不确定性，所以应尽可能多的收集不同生产企业的生产工艺，并建立相应的多种溶剂的检测方法以达到控制药品中残留溶剂的目的。本所担任2009年注射用阿莫西林钠国家评价性抽验任务以来，收集到11个不同企业的产品并对其中74批进行了残留溶剂的检测，本实验仅列出6批具代表性的样品的残留溶剂结果，按中国药典2005年版附录中残留溶剂测定法的规定二氯甲烷不得过0.06%，甲醇不得过0.3%，其他5种溶剂不得过0.5%<sup>[2]</sup>，6批样品有机溶剂残留量均符合规定。

中国药典(2010年版)注射用阿莫西林钠检验标准中，其残留溶剂的检测采用直接进样并以外标法计算，残留溶剂为乙醇、丙酮和二氯甲烷。上述实验表明该品种的残留溶剂可能有7种，且多种挥发性有机溶剂在同一色谱系统测定时，特别在二氯甲烷

限度要求极低的情况下，外标法准确性常不能满足要求。本试验采用以正丙醇为内标的内标法对样品中残留溶剂进行测定，实验表明正丙醇稳定、能够和各有机溶剂峰良好分离，各有机溶剂组分在所考察的浓度范围内线性关系良好， $r$ 为0.9990~0.9998，平均回收率为91.3%~105.7%。同时顶空自动进样技术，大大降低了对色谱柱的污染。实验结果表明本方法灵敏、简便、结果准确，可用于注射用阿莫西林钠中残留溶剂的检测。

### REFERENCES

- CUI Y Y. Determination of residual organic solvents in amoxicillin by headspace GC [J]. Qilu Pharrm Aff (齐鲁药事), 2008, 27(4): 212-213.
- Ch.P(2005)Vol II(中国药典. 2005年版. 二部)[S]. 2005: Appendix VIII P.
- QIN L, HU C Q. Application of predicting retention times in determination of residual solvents in pharmaceuticals [J]. Chin J Pharm Anal(药物分析杂志), 2000, 26(10): 1469-1476.
- LIU Y, HU C Q. Standard on establishment of residual solvent determination method for quality control requirements of cefetamet pivoxil hydrochloride [J]. Chin J Pharm Anal(药物分析杂志), 2007, 27(1): 106-112.

收稿日期：2009-10-21

## RP-HPLC 测定痛经宁胶囊中芍药苷的含量

江帆<sup>1</sup>, 郭培果<sup>2</sup>, 蔡晓静<sup>1</sup>(<sup>1</sup>贵州师范大学分析测试中心, 贵阳 550001; <sup>2</sup>贵州科瑞特医药科技开发研究所, 贵阳 550001)

**摘要：**目的 建立痛经宁胶囊中芍药苷的HPLC含量测定方法。方法 采用Hypersil C<sub>18</sub>柱(250 mm×4.6 mm, 5 μm)，以乙腈-0.1%磷酸(15:85)为流动相；检测波长230 nm；流速：1.0 mL·min<sup>-1</sup>，柱温：30 °C。结果 芍药苷在0.256~1.536 μg内线性关系良好， $r$ =0.9999，平均回收率为99.49%，RSD=0.56%(n=9)。结论 该方法简便、准确、重复性好、可作为痛经宁胶囊的含量测定方法。

**关键词：**痛经宁胶囊；芍药苷；反相高效液相色谱法

中图分类号：R917.101

文献标志码：B

文章编号：1007-7693(2010)08-0741-03

作者简介：江帆，女，硕士，主任药师 Tel: (0851) 6690018 E-mail: dyjiangfan@126.com